

문서화상에 대한 RDM 합성 알고리즘 및 디지털 서명에의 응용

正會員 朴 一 男*, 李 大 寧*

A Study on RDM Algorithm for Document Image and Application to Digital Signature

Il-Nam Park*, Dae-Young Lee* Regular Members

요 약

본 논문에서는 문서 화상에 비트를 합성하는 방법으로 RDM 알고리즘을 제안한 후 이를 이용하여 FAX 문서에 직접 서명을 실행하는 디지털 서명 방식을 제안한다. 본 알고리즘은 비트를 합성하기 위해 기주사된 복수개의 참조 주사선 중 키에 의해 선택된 주사선의 변화화소와 부호화 주사선의 변화화소의 거리의 우기성과 부호화 주사선의 부호장의 우기성을 이용하여 합성 비트열에 따라 거리와 부호장을 신축조작하는 방법으로 한 번에 2 비트씩 합성을 실행한다. 이는 앞서 제시한 방식에 비해 서명의 확산이 가능하므로 부분 서명에 의해 문서 전체에 대한 서명이 구현되어 서명 속도가 개선되며 합성 전제조건의 제거로 합성 가능성이 증가한다. 또한 제안하는 디지털 서명구조에 의해 디지털 서명의 제 3조건인 송신자 부인 봉쇄를 구현한다. 디지털 서명된 송신 문서는 원 문서와 시각적으로 구분이 어려워 제 3자에게는 통상의 문서 교환으로 인식될 것이다.

ABSTRACT

This paper presents the RDM algorithm for composition of bit. After this, We propose a digital signature scheme for facsimile document using RDM algorithm. We modify the even-odd feature in distance of changing pel between coding line and multiple reference line which have been scanned before, and run-length in coding line. The time to take in signature is reduced by spreading of signature. Non-repudiation in origin, the 3rd condition of digital signature is realized by proposed digital signature scheme. The transmitter embeds the signature secretly and transfers it, and the receiver makes a check of any forgery on the signature and the document. This scheme is compatible with the ITU-T.4(G3 or G4 facsimile standards). The total amount of data transmitted and the quality of image are about the same to that of the original document, thus a third party does not notice signature embeded on the document.

*慶熙大學校 電子工學科
Dept. of Electronic Engineering, Kyunghee Univ.
論文番號:96305-0930
接受日字:1996年 9月 30日

I. 서 론

최근 FAX 통신으로 대표되는 문서화상 통신이 상업용 뿐 아니라 가정용으로 까지 광범위하게 보급되고 보급율 또한 급속히 증가하고 있으며, 통신량의 증가 뿐 아니라 이용목적도 다양화되고 있고 내용 자체도 단순 문서교환에 머물지 않고 부가가치가 높고 비밀을 요구하는 정보의 교환에까지 이르고 있다.^[1]

이와 같이 폭넓은 정보전달 수단으로써 필수불가결한 FAX 통신이지만 송수신 문서의 정당성을 인증하기가 곤란하다는 단점이 있다. 예를 들어, 본래의 아날로그 패턴인 자필의 사인이나 도장에 의해서 날인한 중요문서를 단순히 MH(Modified Huffman), MR(Modified READ) 혹은 MMR(Modified Modified READ) 부호화하여 FAX 송신할 경우 불법적인 제3자에 의한 문서의 위조에 의해 문서의 정당성을 인증(Authentication)할 수 없다.^[3, 4] 또한 송수신자의 이해관계가 걸려있는 민감한 문서의 경우 수신자가 문서를 받은 사실을 부인하는 수신자 부인봉쇄(Non-repudiation, Delivery)나 송신자가 문서의 송신사실을 부인하는 송신자 부인봉쇄(Non-repudiation, Origin)^[3] 등도 해결할 수 없다. 이와같은 데이터의 무결성을 확인하는 정보의 인증(Data authentication)과, 정보를 교환하는 상대방을 확인하는 사용자의 인증(User authentication)을 위해 디지털 서명(Digital signature)이 사용되고 있으며 그 실현 방법으로 암호 기법(cryptographic scheme)이 효과적으로 이용된다.^[9]

그러나 일반 데이터통신과 달리 FAX의 경우 원문서와 서명문을 분리전송할 수 없어 이를 해결할 수 있는 방법이 요구된다. 종래의 데이터 통신에 있어서는 그 인증방식으로써 다수의 서명방법이 제안되어 있으나^[2, 3, 4], FAX 문서에 대한 서명은 데이터 통신의 인증법을 그대로 적용할 수도 없고 그 특수성으로 인해 연구가 미비한 상태이다. 우리는 앞서 이에 대한 연구의 일환으로 부호장의 우기성을 이용한 디지털 서명법을 제안한 바 있다.^[7, 8] 그러나 이 방식은,

- 1) 문서 전체에 대한 인증을 위해 전체 문서에 서명문을 합성하여야 하며
- 2) 문서 전체를 스크램블하기 위해 문서량만큼의 메모리가 필요하고
- 3) 디지털 서명의 3 조건 중 S 조건을 해결할 수 없

어 부득이 중재자(Arbitrator)서명 방식^[10]의 적용이 불가피하다는 단점을 갖고 있다.

따라서 본 논문에서는 이러한 문제점을 해결하는데 초점을 맞추어 비트 합성 알고리즘을 개선하고 서명 시스템을 수정 보완하였다. 비트 합성 알고리즘은 부호화 주사선(Coding Scan Line: 이하 CSL)과 키에 의해 선택된 복수개의 참조 주사선(Reference Scan Line: 이하 RSL)의 변화화소사이의 거리(Distance)의 우기성(Even-Odd Feature)과 부호화 주사선의 부호장(Run-Length: 이하 RL)의 우기성을 이용하여 서명 비트열을 합성하는 것으로 이를 이용하면,

- 1) 문서의 일부분에의 서명이 문서 전체에 확산되고
- 2) 스크램블 과정이 불필요하여 논문^[7, 8]의 방식보다 고속의 서명이 가능하며
- 3) 비도(Crypto-degree)면에서 개선되어 보다 안전성을 확보할 수 있다.

또한 앞의 3)을 해결하기 위해 본 논문에서 제안하는 RDM 알고리즘과 함께 DES 알고리즘 및 RSA 알고리즘을 적용한 디지털 서명 방식을 제안한다.

II. FAX 문서의 특징 및 RDM 알고리즘

2.1 FAX 문서의 특징 및 디지털 서명의 조건

ITU-T Recommendation T.4, T.6(종전에는 "CCITT Recommendation T.4, T.6")^[5, 6, 9, 10]에 의하면 ISO A4, ISO B4, ISO A3 규격의 표준 모드에서의 수직방향의 해상도는 3.85 line/mm±1%이고 선택적 고해상도의 경우 7.7 line/mm±1%이다. 또한 표준 모드의 경우 수평 방향으로 215mm±1%의 주사선에 1728개의 화소가 있어서 약 8 pel/mm의 수평해상도를 갖고 고해상도의 경우 역 2배 가까이 된다. 따라서 표준 모드의 경우 1화소가 차지하는 길이는 약 1.2-1.3mm정도로 극히 미세하다. 따라서 1비트 정도의 중간에 의해 문서의 화질이 그리 저하되지 않아 문서상에 어떠한 변화가 있음을 판독하기는 어렵다. 따라서 이를 이용하면 시각적인 차이 없이 문서상에 디지털 서명을 시행할 수 있다. 이때 디지털 서명은 안전성(Security)의 관점에서 다음과 같은 3가지 조건을 만족하여야 한다.^[11, 12]

[T]조건: 서명문의 제3자(Third party)에 의한 위조방지

[R]조건: 서명문의 수신자(Receiver)에 의한 위조 방지
 [S]조건: 송신자(Sender)의 송신 부인 봉쇄

이러한 조건을 전제로 FAX문서에 서명을 시행할 경우 동일 매체상에 서명이 이루어져야 하는 특수성이 있다. 만일 FAX문서와 서명이 분리되어 전송된다면 제 3자나 수신자에 의한 문서의 위조를 피할 수 없다.

따라서 상기한 FAX문서의 특징과 상기조건 그리고 FAX문서의 서명의 특수성을 고려하여 문서상에 서명을 시행하는 방법을 제안한다.

2.2 디지털 서명을 위한 비트합성 알고리즘

2.2.1 RM 알고리즘(Runlength Mixing Algorithm)

: 이하 RM 알고리즘)^[7, 8]

그림 1의 부호화 주사선의 변화화소에 대해 다음과 같이 정의한다.

a_0 : 부호화 주사선의 개시 변화화소. 즉, 부호화 RL 최초의 화소

a_1 : 부호화 주사선에서 a_0 의 우측에 있는 다음의 변화화소

a_2 : 부호화 주사선의 a_1 의 우측에 있는 다음의 변화화소

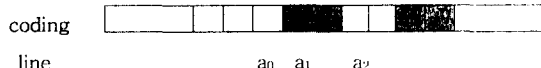


그림 1. 변화화소의 정의

Fig. 1 Definition of changing pel

이들 변화화소를 이용해서 a_i , a_j 간의 부호장을 RL(a_i , a_j)로 쓰기로 하고 그림 2의 백RL과 흑RL이 짹수인가 홀수인가에 따라 전송하고자하는 서명데이터의 비트열을 합성부호화한다. RL이 짹수일 경우 서명문으로부터 1비트를 취해 그 값이 “1”이라면 화소 a_1 을 1화소 우측으로 이동하고 “0”이라면 그대로 둔다. RL이 홀수라면 합성할 데이터 1비트를 취해 그 값이 “0”이라면 a_1 을 1화소분 좌로 이동하고 “1”이라면 그대로 둔다. 위의 방법으로 합성된 비트를 수신측에서는 다음과 같이 복호한다. RL(a_0 , a_1)이 짹수라면 합성비트 “0”을 추출하고 RL(a_0 , a_1)이 홀수라면 합성비트 “1”을 추출한다.

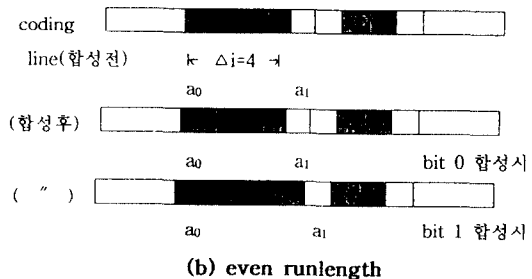
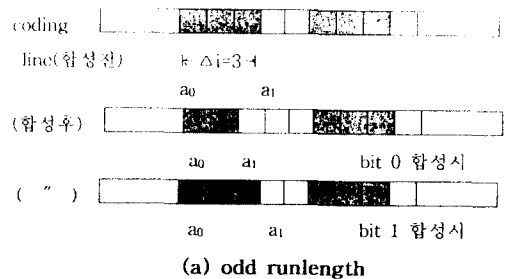


그림 2. 서명데이터 합성 방법

Fig. 2 Mixing Method of Signature data

RM 합성 및 추출 알고리즘을 정리하면 다음과 같다.

합성 알고리즘

S1 = ACQUIRE 1 BIT FROM SIGNATURES

IF RL(a_0 , a_1) = even

then if S1 = 1

MOVE position of a_1 to 1 pel RIGHT

else

NO OPERATION

else if S1 = 0

MOVE position of a_1 TO 1 pel LEFT

else

NO OPERATION

추출 알고리즘

IF RL(a_0 , a_1) = even

OUTPUT SIGNATURE BIT “1”

else

OUTPUT SIGNATURE BIT “0”

예외 조건 (그림 3)

i) RL(a_0 , a_1) = 1일 때 a_1 을 합성에 의해 좌측으로 이

동 시키는 것은 불가(따라서 $RL(a_0, a_1) > 1$)
ii) $RL(a_0, a_1)$ 이 우수일 때 $RL(a_0, a_1) = 1$ 이라면, 합성
에 의해 a_1 을 우로 이동 하는 것은 불가(따라서
 $RL(a_1, a_2) > 1$)

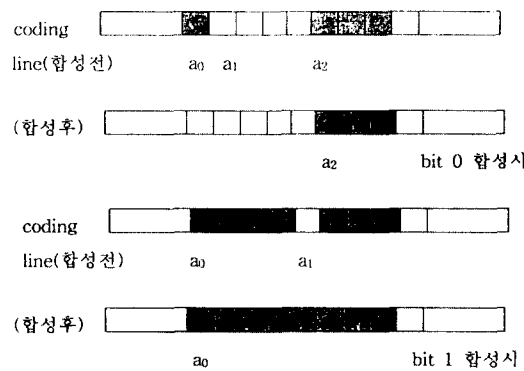


그림 3. 예외 조건
Fig. 3 Exceptional condition

RDM 알고리즘은 제삼자가 알고리즘을 알고 있을 경우 단순히 우기성을 판별하여 서명문을 추출할 수 있고 서명문에 따라 합성을 전체적으로 확산시키기 위해 원문서를 스크랩해야 하므로 문서 데이터량 만큼의 메모리가 소요되고 문서정보 전체를 인증하기 위해 문서 전체에 서명을 합성해야 하므로 서명속도가 느리다는 단점이 있다.

2.2.2 제안 합성 알고리즘(Run-Length & Distance Mixing Algorithm : 이하 RDM 알고리즘)^[15]

RDM 알고리즘은 키에 의해 선택된 RSL상의 변화화소와 CSL상의 변화화소와의 거리(Distance)의 우기성(Even-Odd Feature)과 CSL상의 RL의 우기성을 이용해서 그 우기성과 서명 테이터의 비트열에 따라 그 거리 및 부호장을 신축조작함으로써 합성을 시행한다. 이때 CSL은 기주사된 n_{ab} 개의 주사선을 이용하고 그 선택은 송수신자간의 비밀 공통키에 의해 이루어짐으로써 서명의 확산과 서명의 보안을 구현할 수 있다. 주사가 끝난 n_{ab} 개의 주사선을 저장해 놓고 이중에서 비밀키에 의해 i 번째의 주사선을 선택한다.

우선, CSL과 n_{ab} 개의 RSL의 변화화소, 변화화소간의 거리 및 그 우기성에 관해서 다음과 같이 정의한다.

a_0 : CSL상의 부호화 후부호장 최초의 변화화소로

CSL상의 최초의 화소가 백화소인 경우 run 1
의 가장의 혹 run을 최초의 화소 직전에 설정
 $b_0^{(i)}$: 기주사된 RSL중 i 주사선 상에서 CSL의 변화화소 a_0 직전의 동색의 변화화소
 a_1 : CSL에서 a_0 의 우측에 있는 다음의 변화화소
 $RL(a_0, a_1)$: 화소 a_0 , a_1 사이의 부호장(run-length)
 RL : $RL(a_0, a_1)$ 의 우기성(even-odd feature)
 ∇_i : 변화화소 a_0 와 $b_0^{(i)}$ 사이의 거리(distance: 이하
수식에서는 ∇)
 φ_i : ∇_i 의 우기성, 즉 ∇_i 가 우수이면 0이고 기수이면 1

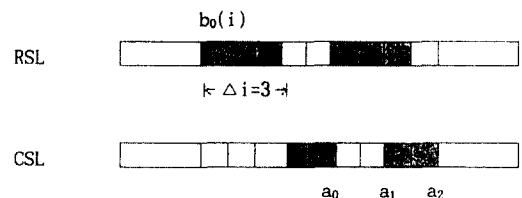


그림 1. RDM알고리즘의 각 화소의 정의
Fig. 1 Definition of each pel in RDM algorithm

본 알고리즘은 RL과 φ_i 를 고려한 수신측에서의 복호를 고려하여 송신측에서 합성 BIT s_0, s_1 에 따라 부호화 주사선의 RL과 CSL과 RSL간 φ_i 를 신축조작함으로써 합성을 실현한다.

합성을 실현하기 위한 각 처리기능(PROCESSING FUNCTION)을 다음과 같이 정의한다.

f_1 : 현 상태 유지

$RL' \leftarrow RL, \varphi_1' \leftarrow \varphi_1$

f_2 : RL과 φ_i 를 반전

$f_2': RL(a_0, a_1) = 1$ 인 경우의 처리로 a_1 의 위치를 두 화소 우로 이동 후 a_0 위치를 한 화소 우로 이동

$f_2'': RL(a_0, a_1) \geq 2$ 인 경우의 처리로 a_0 위치를 한 화소 우로 이동

$RL' \leftarrow (RL + 1)MOD2, \varphi_1' \leftarrow (\varphi_1 + 1)MOD2$

f_3 : RL만 반전시키기 위해 a_1 의 위치를 한 화소 우로 이동

$RL' \leftarrow (RL + 1)MOD2, \varphi_1' \leftarrow \varphi_1$

f_4 : φ_i 만 반전시키기 위해 a_1 의 위치를 한 화소 우로 이동 후 a_0 위치를 한 화소 우로 이동

$RL' \leftarrow RL, \varphi_1' \leftarrow (\varphi_1 + 1)MOD2$

이를 이용해 각각의 경우에 따른 처리를 종합하면 표 1과 같다.

표 1. 각 경우의 처리에 대한 진리표

Table 1. Truth Table in each case

| RL | φi | S ₁ | S ₀ | RL' | $\varphi i'$ | f ₁ | f ₂ | f ₃ | f ₄ |
|----|-------------|----------------|----------------|-----|--------------|----------------|----------------|----------------|----------------|
| 0 | 0 | 0 | 0 | 0 | 0 | 1 | 0 | 0 | 0 |
| 0 | 0 | 0 | 1 | 0 | 1 | 0 | 0 | 0 | 1 |
| 0 | 0 | 1 | 0 | 1 | 0 | 0 | 0 | 1 | 0 |
| 0 | 0 | 1 | 1 | 1 | 1 | 0 | 1 | 0 | 0 |
| 0 | 1 | 0 | 0 | 0 | 0 | 0 | 0 | 0 | 1 |
| 0 | 1 | 0 | 1 | 0 | 1 | 1 | 0 | 0 | 0 |
| 0 | 1 | 1 | 0 | 1 | 0 | 0 | 1 | 0 | 0 |
| 0 | 1 | 1 | 1 | 1 | 1 | 0 | 0 | 1 | 0 |
| 1 | 0 | 0 | 0 | 0 | 0 | 0 | 0 | 1 | 0 |
| 1 | 0 | 0 | 1 | 0 | 1 | 0 | 1 | 0 | 0 |
| 1 | 0 | 1 | 0 | 1 | 0 | 1 | 0 | 0 | 0 |
| 1 | 0 | 1 | 1 | 1 | 1 | 0 | 0 | 0 | 1 |
| 1 | 1 | 0 | 0 | 0 | 0 | 0 | 1 | 0 | 0 |
| 1 | 1 | 0 | 1 | 0 | 1 | 0 | 0 | 1 | 0 |
| 1 | 1 | 1 | 0 | 1 | 0 | 0 | 0 | 0 | 1 |
| 1 | 1 | 1 | 1 | 1 | 1 | 1 | 1 | 0 | 0 |

이를 처리기능 f에 대해 논리적의 합(Sum of Product)의 형태로 표현한 후 논리식을 정리하면 다음과 같다.

$$\begin{aligned}
 f_1 &= \overline{RL} \cdot \overline{\varphi i} \cdot \overline{S_1} \cdot \overline{S_0} + \overline{RL} \cdot \varphi i \cdot \overline{S_1} \cdot S_0 \\
 &\quad + RL \cdot \overline{\varphi i} \cdot S_1 \cdot \overline{S_0} + RL \cdot \varphi i \cdot S_1 \cdot S_0 \\
 &= \overline{RL} \cdot \overline{S_1}(\overline{\varphi i} \cdot \overline{S_0} + \varphi i \cdot S_0) + RL \cdot \overline{S_1}(\overline{\varphi i} \cdot \overline{S_0} + \varphi i \cdot S_0) \\
 &= (\overline{RL} \cdot \overline{S_1} + RL \cdot S_1) \cdot (\overline{\varphi i} \cdot \overline{S_0} + \varphi i \cdot S_0) \\
 &= (\overline{RL} \oplus S_1) \cdot (\varphi i \oplus S_0)
 \end{aligned}$$

$$\begin{aligned}
 f_2 &= \overline{RL} \cdot \overline{\varphi i} \cdot S_1 \cdot S_0 + \overline{RL} \cdot \varphi i \cdot S_1 \cdot \overline{S_0} \\
 &\quad + RL \cdot \overline{\varphi i} \cdot \overline{S_1} \cdot S_0 + RL \cdot \varphi i \cdot \overline{S_1} \cdot S_0 \\
 &= \overline{RL} \cdot \overline{S_1}(\overline{\varphi i} \cdot S_0 + \varphi i \cdot \overline{S_0}) + RL \cdot \overline{S_1}(\overline{\varphi i} \cdot S_0 + \varphi i \cdot \overline{S_0}) \\
 &= (\overline{RL} \cdot \overline{S_1} + RL \cdot \overline{S_1}) \cdot (\overline{\varphi i} \cdot S_0 + \varphi i \cdot \overline{S_0}) \\
 &= (\overline{RL} \oplus S_1) \cdot (\varphi i \oplus S_0)
 \end{aligned}$$

$$\begin{aligned}
 f_3 &= \overline{RL} \cdot \overline{\varphi i} \cdot S_1 \cdot \overline{S_0} + \overline{RL} \cdot \varphi i \cdot S_1 \cdot S_0 \\
 &\quad + RL \cdot \overline{\varphi i} \cdot \overline{S_1} \cdot \overline{S_0} + RL \cdot \varphi i \cdot \overline{S_1} \cdot S_0 \\
 &= \overline{RL} \cdot \overline{S_1}(\overline{\varphi i} \cdot \overline{S_0} + \varphi i \cdot S_0) + RL \cdot \overline{S_1}(\overline{\varphi i} \cdot \overline{S_0} + \varphi i \cdot S_0) \\
 &= (\overline{RL} \cdot \overline{S_1} + RL \cdot \overline{S_1}) \cdot (\overline{\varphi i} \cdot \overline{S_0} + \varphi i \cdot S_0) \\
 &= (\overline{RL} \oplus S_1) \cdot (\varphi i \oplus S_0)
 \end{aligned}$$

$$f_4 = \overline{RL} \cdot \overline{\varphi i} \cdot \overline{S_1} \cdot S_0 + \overline{RL} \cdot \varphi i \cdot \overline{S_1} \cdot \overline{S_0}$$

$$\begin{aligned}
 &\quad + RL \cdot \overline{\varphi i} \cdot S_1 \cdot S_0 + RL \cdot \varphi i \cdot S_1 \cdot \overline{S_0} \\
 &= \overline{RL} \cdot \overline{S_1}(\overline{\varphi i} \cdot S_0 + \varphi i \cdot \overline{S_0}) + RL \cdot \overline{S_1}(\overline{\varphi i} \cdot S_0 + \varphi i \cdot \overline{S_0}) \\
 &= (\overline{RL} \cdot \overline{S_1} + RL \cdot S_1) \cdot (\overline{\varphi i} \cdot S_0 + \varphi i \cdot \overline{S_0}) \\
 &= (\overline{RL} \oplus S_1) \cdot (\varphi i \oplus S_0)
 \end{aligned}$$

그림 2와 같은 경우의 처리예는 다음과 같다.

이 경우 합성BIT s₁=1, s₀=0이고 RL=0, $\varphi i=1$ 으로 ($RL \oplus S_1$) ($\varphi i \oplus S_0$)=1이 경우에 해당되므로 f₂ 처리를 시행하여 RL'=1, $\varphi i'=0$ 으로 만들어 합성시켜야 한다. 그런데 RL(a₀, a₁)≥2이므로 f₂' 처리한다. 즉, a₀의 위치를 한 화소 우로 이동한다.

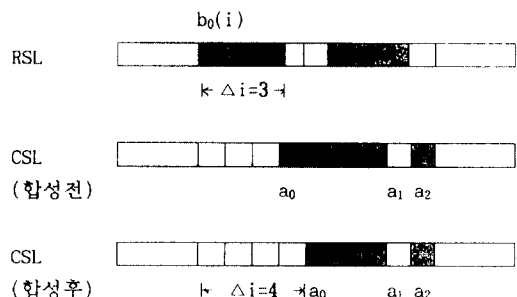
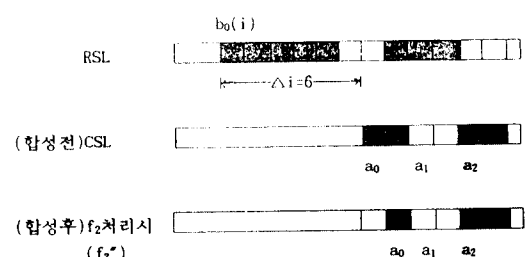


그림 4. 합성처리 예

Fig. 4 Example of Mixing

본 알고리즘의 예외처리는 다음과 같다.

RDM 알고리즘 중 f₂, f₄ 적용시 실행전후의 참조주사선상의 직상화소의 위치가 바뀌어 b₀⁽ⁱ⁾의 위치가 수신측에서 오판되어 합성 BIT 추출시 오류가 발생 할 수 있다. 즉 f₂, f₄ 처리후 φi 가 반전되어야 하나 반전 되지 않고 $\varphi i'=\varphi i$ 인 경우 이에 대한 보정이 요구된다. 이 경우 그림 3과 같이 f₂나 f₄ 처리 후 보정을 위해 다시 한번 f₄ 처리(a₁을 한 화소 우로 이동후 a₀를 한 화소 우로 이동)를 추가로 시행한다.



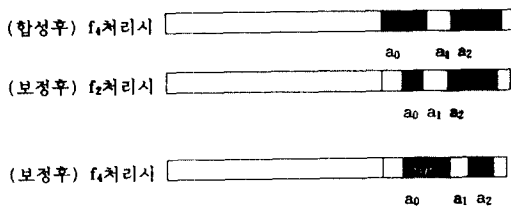


그림 5. RDM 알고리즘의 예외 보정처리

Fig. 5 Exceptional revision processing in RDM algorithm

전체적인 RDM 합성 및 추출 알고리즘은 다음과 같다.

<RDM 합성 알고리즘>

```

While(not end of page) {
NEXT: While(not end of line)
{
    Determine reference line i by key
    Set a0,a1 in coding line
    Compute RL(a0,a1) and vi
    RL = RL(a0,a1) MOD2
    φi = vi MOD2
    Acquire two bits pair(s1,s0) from document
    /* Execute composition of two bits pair */
    if((RL ⊕ s1) (φi ⊕ s0)=1)
        process f1(no operation)
        goto NEXT
    elseif((RL ⊕ s1) (φi ⊕ s0)=1)
        if(RL(a0,a1)=1)
            process f2'(a1->->,a0->)
        elseif(RL(a0,a1)≥2)
            process f2''(a0->)
            goto REV
        elseif((RL ⊕ s1) (φi ⊕ s0)=1)
            process f3(a1->)
            goto NEXT
    elseif((RL ⊕ s1) (φi ⊕ s0)=1)
        process f4(a1->,a0->)
        goto REV
    REV: if(φi'=φi)
        process f4(a1->,a0->)
    else
        goto NEXT
}
}

```

<RDM 추출 알고리즘>

```

While(not end of page) {
NEXT: While(not end of line)
{
    Determine reference line i by key
    Set a0,a1 in coding line
    Compute RL(a0,a1) and vi
    RL = RL(a0,a1) MOD2
    φi = vi MOD2
    /* execute extraction of two bits pair */
    s1 = RL
    s0 = φi
}
}

```

이와 같이 n_{ab} 개의 주사선에 의존하도록 서명 테이터를 합성하면, 1개의 변화화소 a_0 에 n_{ab} 개의 우기성 계열 $\Psi(\phi_1, \phi_2, \dots, \phi_{n_{ab}})$ 이 존재하게 되어서 만일 제 3 자나 수신자가 문서를 위조한 때, 문서상의 변화화소 a_0 에 대해 계열 Ψ 를 만족시키는 것은 극히 곤란하게 된다.

RDM 알고리즘은 합성 시 전제조건이 없어 합성 가능성이 저하되지 않으며 문서의 일부분에의 서명 합성이 문서상의 다른 영역으로 확산되어 문서의 일부분에만 합성하면 속도가 개선된다.

III. RDM 알고리즘을 이용한 디지털 서명 알고리즘

3.1 디지털 서명 알고리즘

2.1절에 제시된 디지털 서명의 조건을 만족하는 RDM 알고리즘을 이용한 서명 알고리즘을 그림 6에 제안한다. 이는 RDM 알고리즘의 특성을 이용하여 문서의 일부분에만 서명을 시행하여 서명 속도를 높였고 RSA 알고리즘을 적용하여 논문[7, 8]의 문제점인 S조건을 해결하였다.

우선 송신자 A는 S, T용의 서명 데이터 SAB와 R용의 서명 데이터 SA를 생성하여 이의 보안을 위해 각각 키(Key) K_S와 K_{AB}를 이용해 암호화한다.

$$\begin{aligned}
 S'_{AB} &= RSA(K_S, S_{AB}) \\
 S''_{AB} &= DES(K_{AB}, S'_{AB}) \\
 S'_A &= RSA(K_S, S_A)
 \end{aligned} \tag{3-1}$$

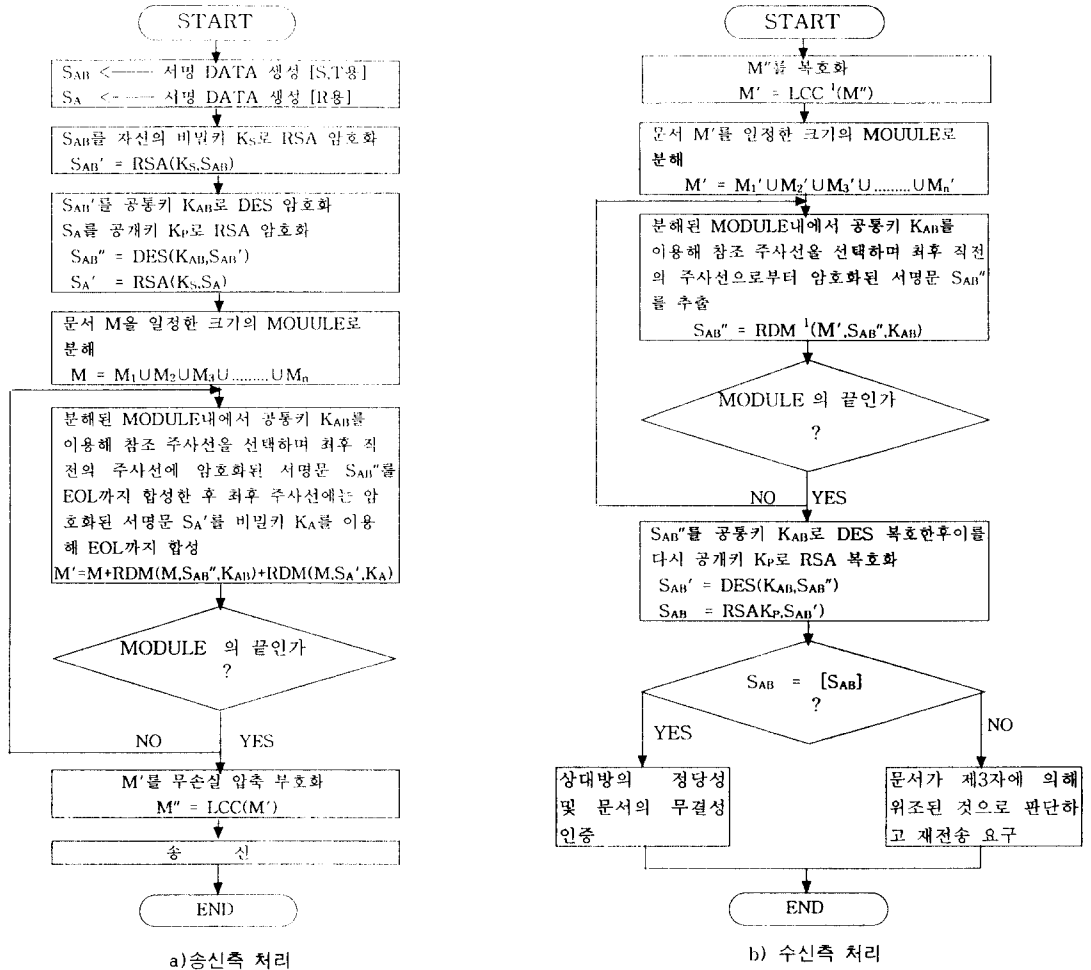


그림 6. DM 알고리즘을 이용한 디지털 서명 알고리즘

Fig. 6 Digital signature algorithm using DM algorithm

여기서 RSA(Rivest Shamir & Adleman) 암호^[12, 16]는 공개키 암호 방식이고 DES(Data Encryption Standard)^[12, 13, 14]는 공통키 암호 방식이다. K_{AB}는 A, B간 비밀공통키(Secret Common Key)이고 K_S는 RSA방식에서의 A의 비밀키(Secret Key)이다. 그후 A는 문서 M을 B와 사전에 약속된 크기의 모듈(Module)로 분해한다.

$$M = M_1 \cup M_2 \cup M_3 \cup \dots \cup M_n \quad (3-2)$$

분해된 모듈 단위로 각 모듈의 최후주사선 직전의

주사선을 찾아 RDM 알고리즘을 이용해 그 주사선의 처음부터 끝까지(EOL) 암호화된 S, T용의 서명 데이터 S'_{AB}를 키 K_{AB}를 이용해 합성한 후 최후 주사선에는 EOL까지 암호화된 R용의 서명 데이터 S'_A를 자신의 비밀키 K_A를 이용해 합성한다.

$$\begin{aligned} M' = & [M_1 + RDM(M_1, S'_{AB}, K_{AB}) + RDM(M_1, S'_A, K_A)] \\ & \cup [M_2 + RDM(M_2, S'_{AB}, K_{AB}) + RDM(M_2, S'_A, K_A)] \\ & \cup \dots \dots \quad + \quad \dots \dots \\ & \cup [M_n + RDM(M_n, S'_{AB}, K_{AB}) + RDM(M_n, S'_A, K_A)] \end{aligned} \quad (3-3)$$

송신자 A는 디지털 서명된 문서 M' 를 MH, MR, 또는 MRR로 무손실 압축부호화(Lossless Compression Coding: 이하 LCC)하여 이를 수신자 B에게 송신한다.

$$M' = \text{LCC}(M) \quad (3-4)$$

수신자 B는 M' 를 수신하여 복호화(이하 LCC^{-1})하여 디지털 서명된 문서 M' 를 구한다.

$$M' = \text{LCC}^{-1}(M') \quad (3-5)$$

다음은 디지털 서명된 문서 M' 을 송신자 A와 사전에 약속된 크기의 모듈로 분해한다.

$$M' = M'_1 \cup M'_2 \cup M'_3 \cup \dots \cup M'_{n'} \quad (3-6)$$

이어 분해된 모듈단위로 각 모듈의 최후 주사선 직전의 주사선을 찾아 그 주사선의 처음부터 EOL까지 합성되어 있는 암호화된 S, T용의 서명 데이터 S'_{AB} 를 RDM 추출 알고리즘(이하 RDM $^{-1}$)으로 추출한다.

$$\begin{aligned} [S'_{AB}]_1 &= \text{RDM}^{-1}(M_1, [S'_{AB}]_1, K_{AB}) \\ [S'_{AB}]_2 &= \text{RDM}^{-1}(M_2, [S'_{AB}]_2, K_{AB}) \\ &\vdots \\ [S'_{AB}]_n &= \text{RDM}^{-1}(M_n, [S'_{AB}]_n, K_{AB}) \end{aligned} \quad (3-7)$$

그 후 추출된 $[S'_{AB}]_1, [S'_{AB}]_2, \dots, [S'_{AB}]_n$ 을 공개키 K_{AB} 를 이용해 DES 복호한다.

$$\begin{aligned} [S_{AB}']_1 &= \text{DES}(K_{AB}, [S'_{AB}]_1) \\ [S_{AB}']_2 &= \text{DES}(K_{AB}, [S'_{AB}]_2) \\ &\vdots \\ [S_{AB}']_n &= \text{DES}(K_{AB}, [S'_{AB}]_n) \end{aligned} \quad (3-8)$$

이를 다시 A의 공개키 K_p 로 RSA 복호하여 S_{AB} 를 구한다.

$$\begin{aligned} [S_{AB}]_1 &= \text{RSA}(K_p, [S_{AB}']_1) \\ [S_{AB}]_2 &= \text{RSA}(K_p, [S_{AB}']_2) \\ &\vdots \\ [S_{AB}]_n &= \text{RSA}(K_p, [S_{AB}']_n) \end{aligned} \quad (3-9)$$

수신자 B는 다음과 경우 상대방을 인증함과 동시에 문서의 무결성을 인증한다.

$$\begin{aligned} (S_{AB} = [S_{AB}]_1) \text{ AND } (S_{AB} = [S_{AB}]_2) \text{ AND } \\ \dots \text{ AND } (S_{AB} = [S_{AB}]_n) \end{aligned} \quad (3-10)$$

그러나 다음과 같은 경우 위조 부분을 검출함과 동시에 송신측에 재전송을 요구한다.

$$\begin{aligned} (S_{AB} \neq [S_{AB}]_1) \text{ OR } (S_{AB} \neq [S_{AB}]_2) \text{ OR } \\ \dots \text{ OR } (S_{AB} \neq [S_{AB}]_n) \end{aligned} \quad (3-11)$$

3.2 분쟁시 처리

한편 송신자 A는 수신자 B가 문서를 위조하는 등의 문제 발생시 다음과 절차를 실행한다. (그림 7) B가 제시한 문서($[M']_S$)에 대해 식(3-5), 식(3-6)을 시행 한 후 모듈의 최후 주사선에서 비밀키 K_A 로 복호를 실행하여 R용의 서명 데이터 $[S'_A]_S$ 를 추출한다.

$$\begin{aligned} [S'_A]_{S1} &= \text{RDM}^{-1}([M']_{S1}, [S'_A]_{S1}, K_A) \\ [S'_A]_{S2} &= \text{RDM}^{-1}([M']_{S2}, [S'_A]_{S2}, K_A) \\ &\vdots \\ [S'_A]_{Sn} &= \text{RDM}^{-1}([M']_{Sn}, [S'_A]_{Sn}, K_A) \end{aligned} \quad (3-12)$$

추출된 $[S'_A]_{S1}, [S'_A]_{S2}, \dots, [S'_A]_{Sn}$ 을 A의 공개키 K_p 를 이용해 RSA 복호한다.

$$\begin{aligned} [S_A]_{S1} &= \text{RSA}(K_p, [S'_A]_{S1}) \\ [S_A]_{S2} &= \text{RSA}(K_p, [S'_A]_{S2}) \\ &\vdots \\ [S_A]_{Sn} &= \text{RSA}(K_p, [S'_A]_{Sn}) \end{aligned} \quad (3-13)$$

송신자 A는 다음과 같은 경우 수신자 B의 위조를 인증한다.

$$\begin{aligned} (S_A \neq [S_A]_{S1}) \text{ OR } (S_A \neq [S_A]_{S2}) \text{ OR } \\ \dots \text{ OR } (S_A \neq [S_A]_{Sn}) \end{aligned} \quad (3-14)$$

수신자는 수신 문서에 대해 송신자가 송신 사실을 부인할 경우 다음과 같은 절차를 밟는다.

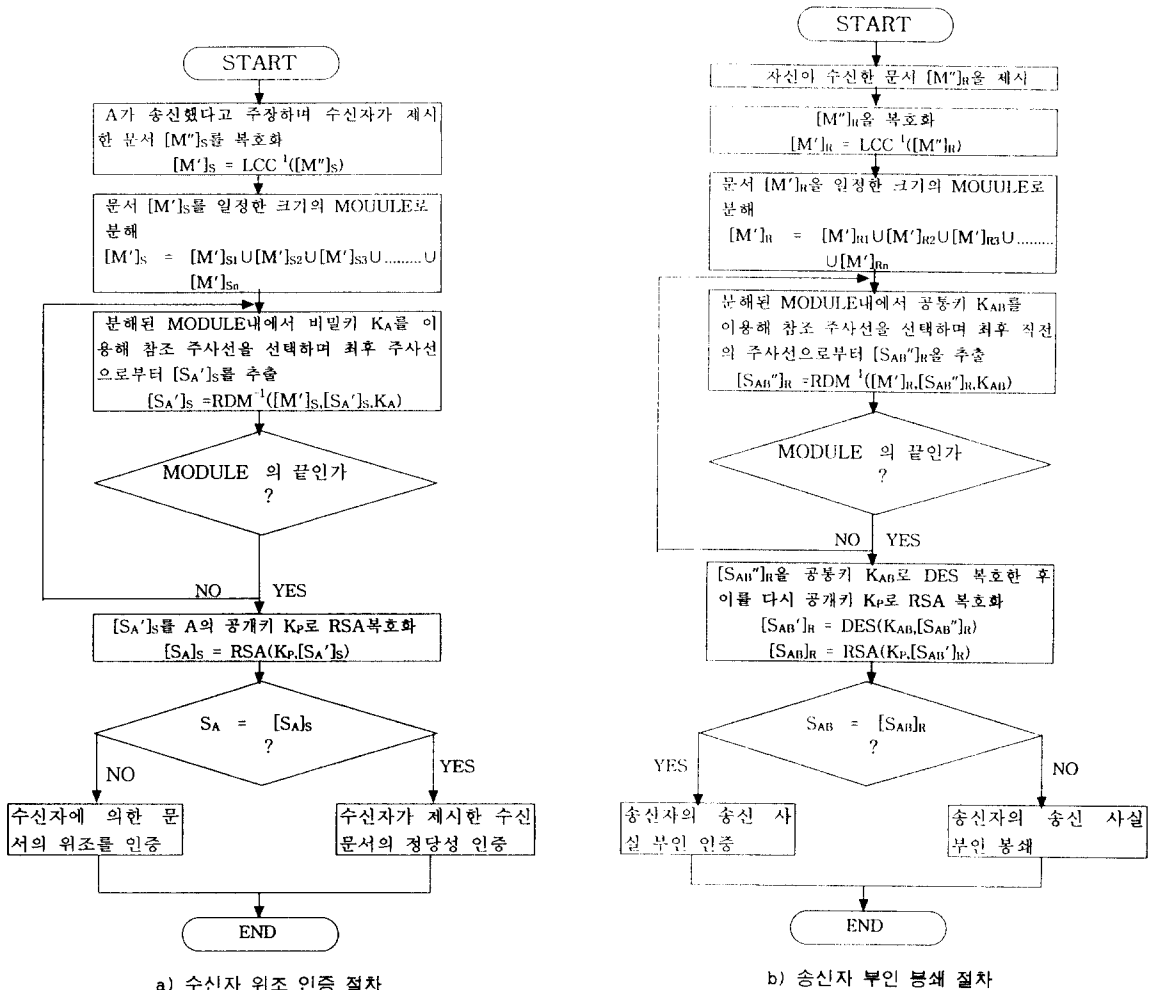


그림 7. 분쟁시 처리 절차

Fig. 7 Processing Procedure in trouble

우선 수신자는 자신이 송신자 A로 부터 수신했다고 주장하는 문서 $[M']_R$ 을 제시하고 이로부터 디지털 서명된 문서 $[M']_R$ 을 복호한다.

$$[M']_R = \text{LCC}^{-1}([M']_R) \quad (3-15)$$

다음은 디지털 서명된 문서 $[M']_R$ 을 송신자 A와 사전에 약속된 크기의 모듈로 분해한다.

$$[M']_R = [M']_{R1} \cup [M']_{R2} \cup [M']_{R3} \cup \dots \cup [M']_{Rn} \quad (3-16)$$

이어 분해된 모듈단위로 각 모듈의 최후 주사선 직전의 주사선을 찾아 그 주사선의 처음부터 EOL까지 RDM 알고리즘을 이용해 합성되어 있는 암호화된 S, T용의 서명 데이터 $[S'_{AB}]_R$ 을 추출한다.

$$[S'_{AB}]_{R1} = \text{RDM}^{-1}([M']_{R1}, [S'_{AB}]_{R1}, K_{AB})$$

$$[S'_{AB}]_{R2} = \text{RDM}^{-1}([M']_{R2}, [S'_{AB}]_{R2}, K_{AB})$$

⋮

$$[S'_{AB}]_{Rn} = \text{RDM}^{-1}([M']_{Rn}, [S'_{AB}]_{Rn}, K_{AB}) \quad (3-17)$$

그 후 추출된 $[S'_{AB}]_{R1}, [S'_{AB}]_{R2}, \dots, [S'_{AB}]_{Rn}$ 을 공통키 K_{AB} 를 이용해 DES 복호한다.

$$\begin{aligned} [S'_{AB}]_{R1} &= DES(K_{AB}, [S'_{AB}]_{R1}) \\ [S'_{AB}]_{R2} &= DES(K_{AB}, [S'_{AB}]_{R2}) \\ &\vdots \\ [S'_{AB}]_{Rn} &= DES(K_{AB}, [S'_{AB}]_{Rn}) \end{aligned} \quad (3-18)$$

이를 다시 A의 공개키 K_p 로 RSA 복호하여 $[S_{AB}]_R$ 을 구한다.

$$\begin{aligned} [S_{AB}]_{R1} &= RSA(K_p, [S'_{AB}]_{R1}) \\ [S_{AB}]_{R2} &= RSA(K_p, [S'_{AB}]_{R2}) \\ &\vdots \\ [S_{AB}]_{Rn} &= RSA(K_p, [S'_{AB}]_{Rn}) \end{aligned} \quad (3-19)$$

이때 $[S_{AB}]_R$ 은 송신자 A 자신의 비밀키에 의해 공개 키 암호화된 것으로 A의 공개키 K_p 에 의해서만 해독되므로 복호내용이 정상적인 경우 수신자가 제시한 문서 (M')_R의 송신 사실을 부인할 수 없게 된다. 즉, 다음과 같은 경우 송신자의 송신 부인을 봉쇄할 수

있다.

$$\begin{aligned} (S_{AB})_1 &= [S_{AB}]_{R1} \text{ AND } (S_{AB})_2 = [S_{AB}]_{R2} \text{ AND } \\ &\dots \text{ AND } (S_{AB})_n = [S_{AB}]_{Rn} \end{aligned} \quad (3-20)$$

IV. 실험 및 고찰

본 논문에서 제안된 알고리즘에 대한 모의 실험은 ITU의 FAX용 TEST화상(1024×723)^[8] 두 개를 선택하여 PC 상에서 실험을 행하였다. 실험 결과는 다음과 같다.

그림 10과 그림 11에서 보는 바와 같이 원 문서 화상과 서명이 합성된 문서화상간의 시각적인 차이를 느낄 수 없어 비밀 서명이 가능한 것을 확인할 수 있었으며 표 2에서와 같이 앞서 발표한 RM 서명문 합성 방법과 비교하였을 때에 합성가능 데이터량이 NO1 문서의 경우 약 45% NO2 문서의 경우 약 4.5% 증가함을 확인하였다. 즉 문서가 복잡할수록 RDM 알고리즘의 합성량이 더욱 증가함을 확인하였다. 또한 표 3에 보인 바와 같이 합성 전후의 전송 부호량의 변화가 약 0.3% 이내로 부호량의 증대에 따른 부하가 거의 없음을 확인하였다. 문서상의 서명이 해독될 확률을

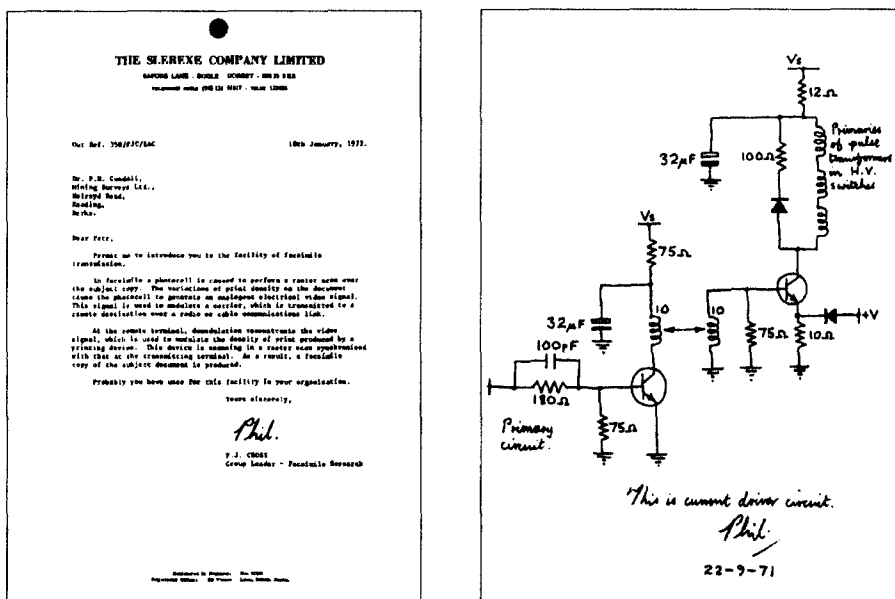


그림 8. ITU.T4 문서화상
Fig. 8 ITU.T4 TEST CHART

| | |
|--|--|
| 서명 데이터 : DIGITAL SYSTEM LAB | 암호화된 데이터 : DES 암호화된 데이터 |
| 01000100 01001001 01000111 01001001 01000011 01010011 01100010 01101000 01100010 01100011 01000101 01010100 01010011 01000001 01000010 | 01010000 01000001 01010010 01001011 01001001 01001100 01001110 01000001 01001101 00001010 01001100 10000010 11000011 01001100 00001100 11101010 10111010 01010100 |

a)S, T용의 서명 데이터 및 암호화

b)R용의 서명 데이터 및 암호화

그림 9. 서명 데이터의 암호화

Fig. 9 Encryption of signature data

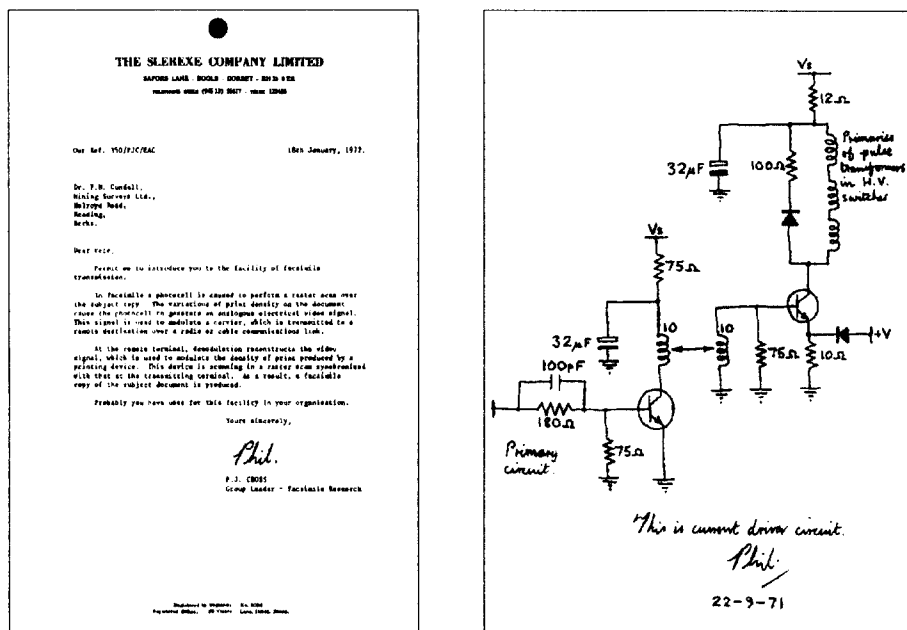


그림 10. 서명데이터가 합성된 T.4 문서화상

Fig. 10 T.4 test chart mixed by signature data

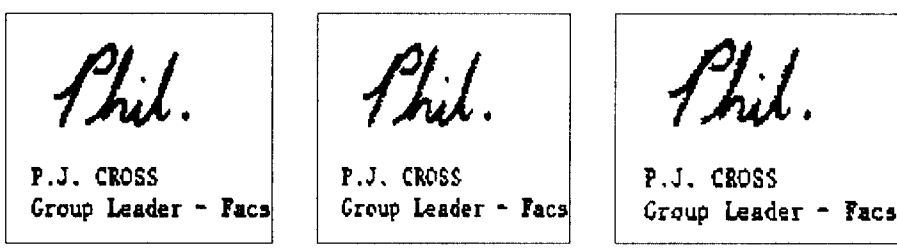


그림 11. 합성된 문서와의 비교

Fig. 11 Comparison between mixing test chart and original test chart

표 2. 문서화상의 합성가능데이터량 비교

Table 2. Comparison of mixing capability on test chart

단위:BIT

| 모듈간격 합성가능데이터량 | M = 1 | M = 3 | M = 5 | M = 10 | M = 20 | M = 40 | 평균 증가율 |
|------------------|-------|-------|-------|--------|--------|--------|--------|
| RM 합성법[7, 8] | 6,188 | 2,082 | 1,264 | 716 | 353 | 210 | |
| 제안된 합성법 | 9,243 | 3,110 | 1,855 | 1,065 | 556 | 300 | 45% |
| RM 합성법[7, 8] | 5,102 | 1,702 | 1,011 | 504 | 244 | 133 | |
| 제안된 합성법 | 5,359 | 1,793 | 1,051 | 525 | 253 | 139 | 4.5% |

표 3. MH 부호량의 변화

Table 3. Change in MH code length

단위:BIT

| 모듈간격 | M = 1 | M = 3 | M = 5 | M = 10 | M = 20 | M = 40 |
|--------------------------|----------------------|----------------------|----------------------|----------------------|----------------------|----------------------|
| RM 합성법의 NOI FAX 문서화상 | 178,812 (24.15%) | 178,805 (24.15%) | 178,803 (24.15%) | 178,800 (24.15%) | 178,802 (24.15%) | 178,802 (24.15%) |
| 제안된 합성법의 NOI FAX 문서화상 | 181,374 (24.45%) | 179,847 (24.29%) | 179,308 (24.21%) | 179,089 (24.18%) | 179,008 (24.17%) | 178,905 (24.16%) |
| RM 합성법의 NO2 FAX 문서화상 | 107,625 (14.537%) | 107,606 (14.534%) | 107,612 (14.535%) | 107,602 (14.533%) | 107,592 (14.532%) | 107,597 (14.533%) |
| 제안된 합성법의 NO2 FAX 문서화상 | 107,886 (14.572%) | 107,672 (14.543%) | 107,633 (14.538%) | 107,609 (14.535%) | 107,602 (14.533%) | 107,597 (14.533%) |

MH 부호량(압축률)

원문서: NOI FAX 문서화상: 178.802(24.15%)

NO2 FAX 문서화상: 107.597(14.533%)

(1024 × 723 = 740,352)

비도(Crypto-degree)로 평가하면 다음과 같다. 문서화상의 해상도를 (ixj) 로 하고 모듈 수를 m 이라 하면 1개의 모듈내에는 i/m 개의 주사선이 존재하게 되므로 1개의 모듈이 해독될 확률 $(P_{RDM})_m$ 은 다음과 같다.

$$(P_{RDM})_m = i^{-(j+1)} * m^j \quad (4-1)$$

따라서 문서 전체가 해독될 확률 P_{RDM} 은 다음과 같다.

$$P_{RDM} = (i^{-(j+1)} * m^j)^m \quad (4-2)$$

이때 보통 $i \gg m$ 이므로 RDM 알고리즘을 해독하기 위한 시간 복잡도는 $O(n^k)$ 로 볼 수 있다. 반면 RM 알고리즘의 경우 해독을 위한 시간 복잡도는 $O(n!)$ 로 RDM 알고리즘이 비도상에서 개선됐으므로 보다 안전함을 알 수 있다.

V. 결 론

FAX 문서 자체에 어떠한 수단으로 서명을 시행하여 제 3자의 눈에는 보통의 문서와 다름없게 전송하는 디지털 서명은 상대방 및 문서에 대한 정당성을 인증할 수 있는 방법이다. 본 논문에서는 참조 주사선과 부호화 주사선의 변화 화소의 거리의 우기성을 이용한 RDM 합성 알고리즘을 제안하고 이를 이용하여 FAX 문서에 디지털 서명의 3 조건인 T, R, S 조건을 만족하는 디지털 서명을 시행하는 알고리즘을 제안하였다. ITU의 TEST CHART를 대상으로 실험한 결과, RDM 알고리즘은 기존의 RM 알고리즘에 비해 합성량을 증가시키고 비도상에서 시간 복잡도가 $O(n^k)$ 으로 매우 안전함을 확인하였다. 합성 전후 부호량의 변화가 거의 없어 합성에 따른 부하가 거의 없었고 합성 전후의 문서상에서의 뚜렷한 시각적 차이를 느낄 수 없어 제 3자에게는 통상의 문서 교환으

로 인식될 것이다. 앞으로 디지털 서명 뿐 아니라 비밀문서를 일반문서에 합성할 경우에 대한 연구가 필요할 것이며 이를 위해서는 보다 다양한 데이터를 합성할 수 있는 알고리즘을 개발해야 할 것이다.

참 고 문 헌

1. 小野, 浦野：“アルチメデイア通信”, 情報處理, Vol. 24, No.10, pp.1227-1232(昭 58-10)
2. 池野, 小山: 現代暗號理論, 電子通信學會, 第 12章, pp.217-239(昭 61)
3. R. R. Jueneman, C. H. Meyer, and S. M. Matyas, “Message Authentication”, IEEE Communications Magazine, vol.23, no.9, pp.29-40, Sept. 1985.
4. Robert R. Jueneman, “Eletronic Document Authentication”, IEEE Network Magazine, vol.1, no.2, pp.17-23, April. 1987.
5. CCITT Recommendation T.4: Standardization of Group 3 facsimile apparatus for document transmission, Red Book. 1984.
6. CCITT Recommendation T.6: Facsimile coding schemes and coding control functions for Group 4 facsimile apparatus, Red Book. 1984.
7. 박일남외, “MH부호화를 사용하는 FAX 문서에 대한 다중화 서명법 연구”, 신호처리 학회 발표 논문집, 1995.
8. 김한상, “MH부호화를 사용하는 FAX 문서에 대한 계층적 디지털 서명법 연구”, 경희대학교 석사 학위 논문, 1995.
9. ITU-T Recommendation T.4, 1993.
10. ITU-T Recommendation T.6, 1993.
11. R. Hunter and A. H. Robinson, “International digital facsimile coding standards”, Proc. IEEE, 68, 7, pp.854-867, 1980.
12. Selim G. Aki, “Digital Signatures: A Tutorial Survey”, IEEE Computer, pp.15-24, Feb. 1983.
13. 한국전자통신연구소, “현대암호학”, 1991, 8.
14. “Data Encryption Standard”, FIPS Pub. 46, NSA, U.S. Dep. of Commerce, Washington, DC, Jan. 1977.
15. A. Shimizu and S. Miyaguchi, “Fast Data Encry-
- ption Algorithm”, Abstracts of EUROCRYPT '87.
16. 박일남외, “변화화소간의 차분치를 이용한 FAX 문서에서의 디지털 서명법”, 한국통신학회 추계 종합 학술 발표회 논문집, 1995.
17. R. L. Rivest, A. Shamir, and L. Adleman, “A Method for Obtaining Digital Signatures and Public-keyCryptosystems”, Comm. ACM, Vol.21, No.2, Feb. 1978, pp.120-126.



朴 一 男(Il-Nam Park) 정회원

1985년 2월: 경희대학교 공과대학
전자공학과 졸업(공
학사)

1988년 8월: 경희대학교 대학원 전
자공학과 졸업(공학
석사)

1993년 2월: 경희대학교 대학원 전
자공학과 박사과정 수료

1992년 3월~현재: 충남전문대학 사무자동화과 재직
(조교수)

※주관심분야: 디지털 시스템, 영상처리, 암호학

李 大 寧(Dae-Young Lee)

정회원